

В.Ф. Зінченко<sup>1</sup>, О.В. Стамікосто<sup>1</sup>, І.В. Стоянова<sup>1</sup>, Н.М. Белявіна<sup>2</sup>, Н.М. Компаніченко<sup>3</sup>

## Взаємодія у системах LnF<sub>3</sub> (Ln-La, Sm, Dy)-SrS

<sup>1</sup>Фізико-хімічний інститут ім. О.В. Богатського НАН України, 86 Люстдорфська дорога, 65080, Одеса, Україна, тел: 80-487-662398; Fax: 80-487-659602, e-mail: vfzinchenko@ukr.net

<sup>2</sup>Київський національний університет ім. Тараса Шевченка, 64, вул. Володимирська, 01003, Київ, Україна, тел: 80-442-662335; Fax: 80-442-208285, e-mail: belmar@mail.univ.kiev.ua

<sup>3</sup>Інститут загальної та неорганічної хімії ім. В. І. Вернадського НАН України, проспект Палладіна, 32/34, 03680, Київ-142, Україна, тел.: (8044)-424-34-61, Fax: (8044)-424-35-70; e-mail: omelchuk@ionc.kar.net

Встановлено склад продуктів взаємодії у системах LnF<sub>3</sub> (Ln-La,Sm,Dy)-SrS, основними серед яких є SrF<sub>2</sub> та тверді розчини на його основі. Виявлено суттєвий гіпсохромний зсув піків 4f-4f' електронних переходів у досліджуваних системах порівняно із системами LnF<sub>3</sub>-Ln<sub>2</sub>S<sub>3</sub>. Обговорюються можливі механізми взаємодії між компонентами систем.

**Ключові слова:** сульфогториди лантанідів, обмінні реакції, тверді розчини, спектри дифузного відбиття.

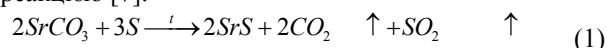
Стаття поступила до редакції 16.01.2008; прийнята до друку 15.09.2008.

### Вступ

Сульфогториди лантанідів загального складу LnSF (Ln-Y, La-Lu) досить детально описано авторами в монографії [1]. Нещодавно [2] виявлено також сполуку Yb<sub>3</sub>S<sub>2</sub>F<sub>4</sub>, що містить Yb у двох ступенях окиснення. Аналогічного складу сполуки виявлено нами при вивченні взаємодії у системах LnF<sub>3</sub>-Ln<sub>2</sub>S<sub>3</sub> [3,4], Ba F<sub>2</sub> - LnF<sub>3</sub>- Ln<sub>2</sub>S<sub>3</sub> та EuF<sub>2</sub> (EuS)-LnF<sub>3</sub>- Ln<sub>2</sub>S<sub>3</sub> [5]. Встановлено, що вміст т.з. “аномальних” фаз Ln<sub>3</sub>S<sub>2</sub>F<sub>4</sub> суттєво зростає при термообробці у сольових розтопах [6]. У значній кількості згаданих систем встановлено перебіг обмінних реакцій між фторидами та сульфїдами різних лантанідів. Тому видавалося цікавим встановити можливість такого роду взаємодії між фторидами лантанідів та сульфїдом лужноземельного металу, зокрема SrS

### I. Експериментальна частина

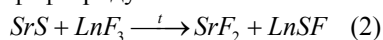
Сульфїд стронцію синтезовано шляхом тривалого обпалу карбонату стронцію з сіркою при поступовому нагріванні суміші до 900-950°C за реакцією [7]:



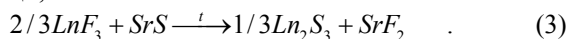
Синтезований продукт через гігроскопічність зберігали у запарафінованій посудині. Зважування потрібної кількості SrS з тих же причин проводили у

герметичному бюксі, до якого потім додавали наважку фториду лантанїду. З поміж останніх обрано LaF<sub>3</sub>, SmF<sub>3</sub> та DyF<sub>3</sub>, тобто фториди лантанідів, розташованих у різних частинах лантанїдного ряду.

Сульфїд стронцію та фториди лантанідів брали у еквівалентному співвідношенні, при якому є можливою обмінна реакція з утворенням сульфогториду за схемою:



На жаль, дотепер відсутні термодинамічні дані щодо сульфогторидів лантанідів, і тому нами було проведено термодинамічну оцінку дещо іншої реакції, а саме:

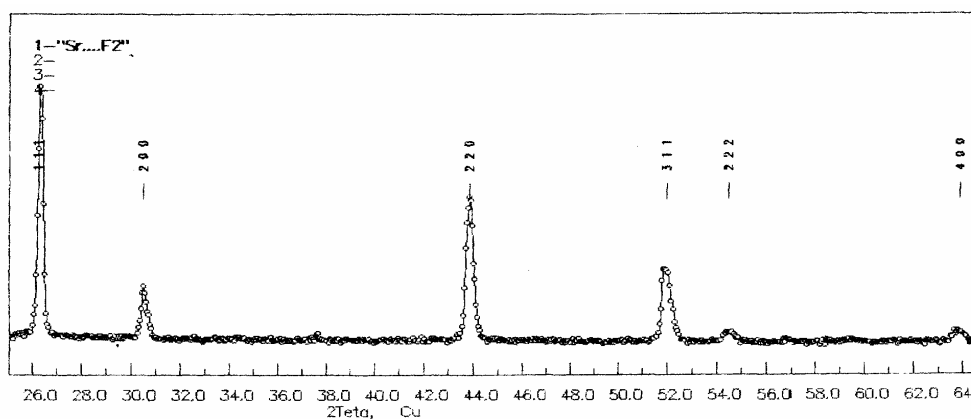


Таблиця 1

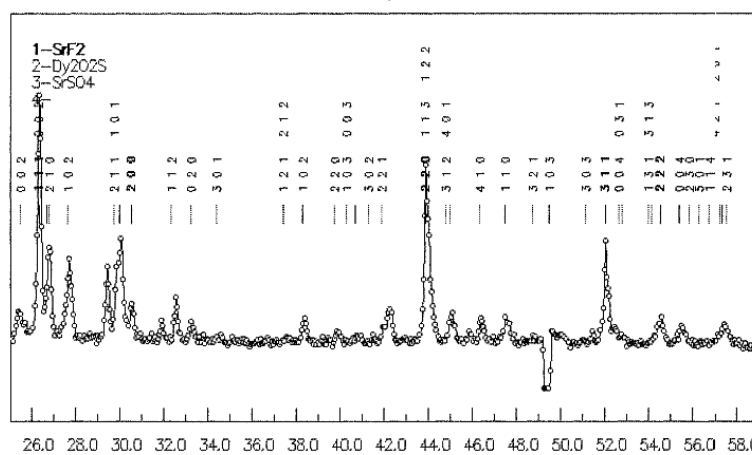
Стандартна ентальпія реакцій обміну

Рівняння реакції	$-\Delta H_{298}^\circ$ , кДж/моль
$2/3LaF_3 + SrS \xrightarrow{t} 1/3La_2S_3 + SrF_2$	97
$2/3SmF_3 + SrS \xrightarrow{t} 1/3Sm_2S_3 + SrF_2$	58
$2/3DyF_3 + SrS \xrightarrow{t} 1/3Dy_2S_3 + SrF_2$	43

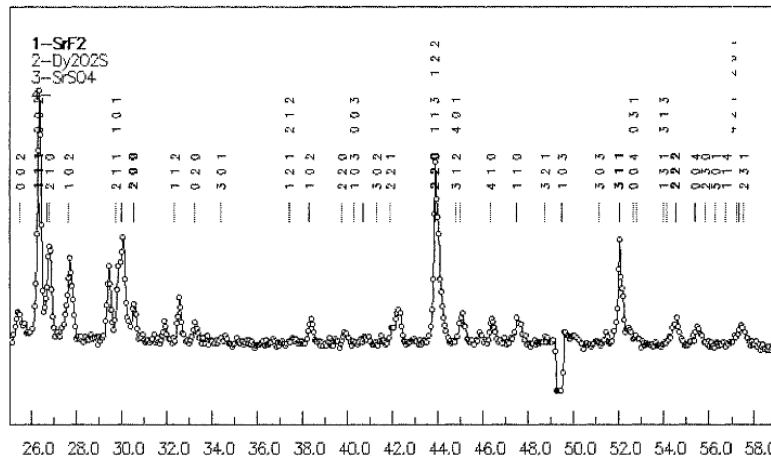
Термодинамічні параметри компонентів узяті з [8,9]. З наведених у табл. 1 даних випливає, що всі реакції є принципово можливими ( цьому сприятиме й наступне утворення сульфогторидів), хоча їх ймовірність суттєво зменшується у ряді La – Sm - Dy.



a)



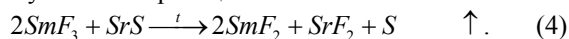
б)



в)

Рис. 1. Дифрактограми зразків систем: а- SrS-LaF<sub>3</sub>, б- SrS-SmF<sub>3</sub>, в- SrS-DyF<sub>3</sub>

Слід зазначити, що у випадку SmF<sub>3</sub> не можна виключити також утворення й певної кількості SmF<sub>2</sub> за рахунок іншої реакції:



Цій реакції, безумовно, має сприяти висока температура, а також утворення твердого розчину між продуктами реакції.

Суміш реагентів пресували у таблетки, вміщували у скловуглецевий тигель та прожарювали їх у інертній атмосфері (He) при 700°C (у випадку DyF<sub>3</sub> також ще й при 1000°C) протягом 2 год. Одержані продукти після охолодження розтирали та

ідентифікували методами РФА та спектроскопії дифузного відбиття (СДВ). Методи ідентифікації детально описано у роботах [3-5].

## II. Результати експерименту

З рис. 1 випливає, що найпростіший вигляд має дифрактограма системи LaF<sub>3</sub>- SrS, на якій наявні лише піки, що відповідають кубічній фазі SrF<sub>2</sub> (з дещо викривленими параметрами). Дифрактограми систем SmF<sub>3</sub> – SrS та DyF<sub>3</sub>-SrS мають значно

Таблиця 2

Фазовий склад продуктів термообробки систем  $\text{LnF}_3 - \text{SrS}$  (вміст фаз зменшується зверху донизу)

Ln	Система та умови термообробки	Фазовий склад(параметри ґраток, Å)
<b>La</b>	$\text{LaF}_3 - \text{SrS}$ (700°C)	$\text{SrF}_2$ , куб. $\text{LaOF}$ , куб. домішки $\text{LaS}_{1+x}$ ( $0,5 < x < 1$ )
<b>Sm</b>	$\text{SmF}_3 - \text{SrS}$ (700°C)	$\text{SrF}_2$ , куб. (a=5,7876)
<b>Dy</b>	$\text{DyF}_3 - \text{SrS}$ (700°C)	$\text{SrF}_2$ , куб. (a=5,8007) $\text{Dy}_2\text{O}_2\text{S}$ , гекс. (a=b=5,8052,c=6,5991) $\text{SrS}$ , куб. $\text{DyF}_3$ , ромб. x-фаза
	$\text{DyF}_3 - \text{SrS}$ (1000°C)	$\text{SrF}_2$ , куб. $\text{DyOF}$ , ромбоedr. Домішки $\text{DyS}$ , куб.

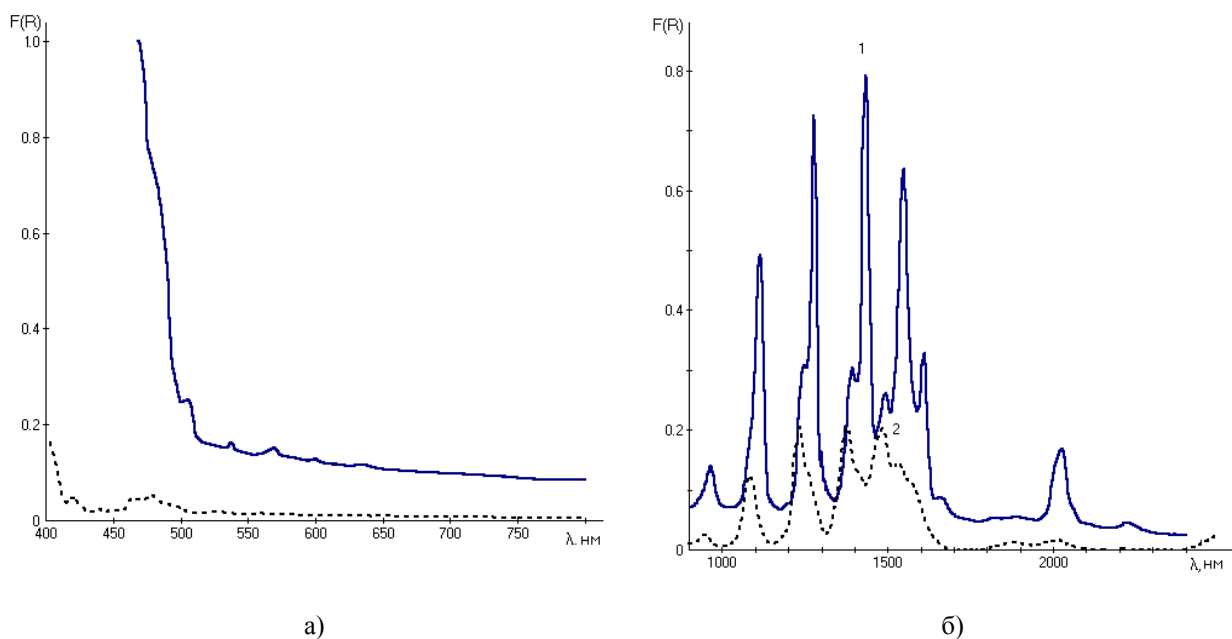
Таблиця 3

Положення найголовніших піків ( нм ) у спектрах дифузного відбиття зразків систем  $\text{LnF}_3 - \text{SrS}$  (для порівняння наведено дані для  $\text{LnSF}$ )

Ln	Системи та умови термообробки		
<b>Sm</b>	$\text{SmF}_3 - \text{Sm}_2\text{S}_3$ (700°C)	$\text{SmF}_3 - \text{SrS}$ (700°C)	
	2014	2015	
	1602	1525	
	1542	1474	
	1466	1372	
	1427	1227	
	1271	1077	
	1106	478	
	959	401	
	569	208	
536			
507			
<b>Dy</b>	$\text{DyF}_3 - \text{Dy}_2\text{S}_3$ (700°C)	$\text{DyF}_3 - \text{SrS}$ (700°C)	$\text{DyF}_3 - \text{SrS}$ (1000°C)
	2216	1705	1685
	1752	1312	1301
	1714	1113	1235
	1321	911	1118
	1301	817	1088
	1115	803	897
	920	761	807
	815	452	752
	768	429	455
		387	449
		356	385
		275	351
		254	295
		236	260
		229	203
	206		

складніший характер, що свідчить про наявність декількох фаз, можливо, й кубічної структури. Дійсно, як дані РФА розрахунки (табл. 2), перша з

згаданих систем складається переважно з фази  $\text{SrF}_2$ , а як домішки присутні фази  $\text{LaOF}$  та  $\text{LaS}_{1+x}$  (кубічної структури). Що стосується другої та третьої з систем,



**Рис. 2.** Спектри дифузного відбиття зразків систем у видимому (а) та ІЧ(б) діапазонах спектру: 1 - Sm<sub>2</sub>S<sub>3</sub>-SmF<sub>3</sub>, 2- SrS-SmF<sub>3</sub>

вони також містять фазу SrF<sub>2</sub>, але додатково – також й інші фази. У випадку системи DyF<sub>3</sub> – SrS їх вдалося ідентифікувати. З наведених у табл. 2 даних випливає, що їх склад суттєво залежить від температури термообробки: так продукти термообробки при нижчій температурі містять в якості домішок оксосульфідну фазу та фази вихідних реактивів, натомість домішковою фазою у продуктах високотемпературної обробки є оксофторид диспрозійу.

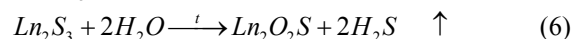
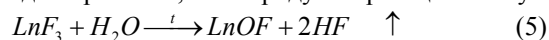
Дані СДВ (рис. 2,3) підтверджують факт взаємодії у системах SmF<sub>3</sub> – SrS та DyF<sub>3</sub> – SrS (спектри ДВ для системи LaF<sub>3</sub> – SrS не подано через їх незначну інформативність). На рисунках, поряд з кривими досліджуваних систем, наведено спектри ДВ систем, в яких основні фази є сульфогфториди лантанідів (переважно, складу LnSF, а також домішки фаз Ln<sub>3</sub>S<sub>2</sub>F<sub>4</sub>). Порівняно з системою SmF<sub>3</sub> – Sm<sub>2</sub>S<sub>3</sub>, спектральні криві 4f-4f електронних переходів у системі SmF<sub>3</sub> – SrS є суттєво згладженими, зі значно нижчою інтенсивністю піків, деякі з яких зливаються у суцільні смуги, а то й – зникають взагалі. Положення піків і смуг також дещо змінюється, з переважним зсувом у бік менших довжин хвиль. Це є очевидним свідченням на користь зникнення значної частини зв'язків Sm(III) – F. Аналогічні зміни, порівняно із системою DyF<sub>3</sub> – Dy<sub>2</sub>S<sub>3</sub>, відбуваються у системі DyF<sub>3</sub> – SrS, але при цьому не тільки не відбувається зниження інтенсивності піків, а, навпаки, вона дещо зростає. Як випливає з даних табл. 3, тенденція до гіпсохроного зсуву піків і смуг посилюється з підвищенням температури термообробки.

### III. Обговорення результатів

Результати експериментів свідчать на користь перебігу обмінних реакцій у досліджуваних системах, але в кожній з них ці процеси мають свої особливості.

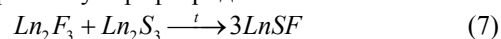
Очевидно, спільною рисою для усіх є утворення найбільш сталої з фаз, а саме, SrF<sub>2</sub>, енергія зв'язків метал-фтор в якій є однією з найбільших (а може, й найбільшою) серед усіх фторидів металів. Її утворення, очевидно, відбувається за схемою (2).

Сульфід стронцію, будучи вельми гігроскопічною речовиною, у своєму складі містить воду, яка викликає при нагріванні частковий гідроліз як вихідних речовин, так і продуктів реакції обміну:

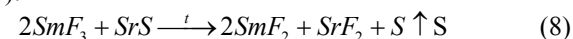


У подальшому відбуваються вторинні реакції, а саме:

Утворення сульфогфторидів:



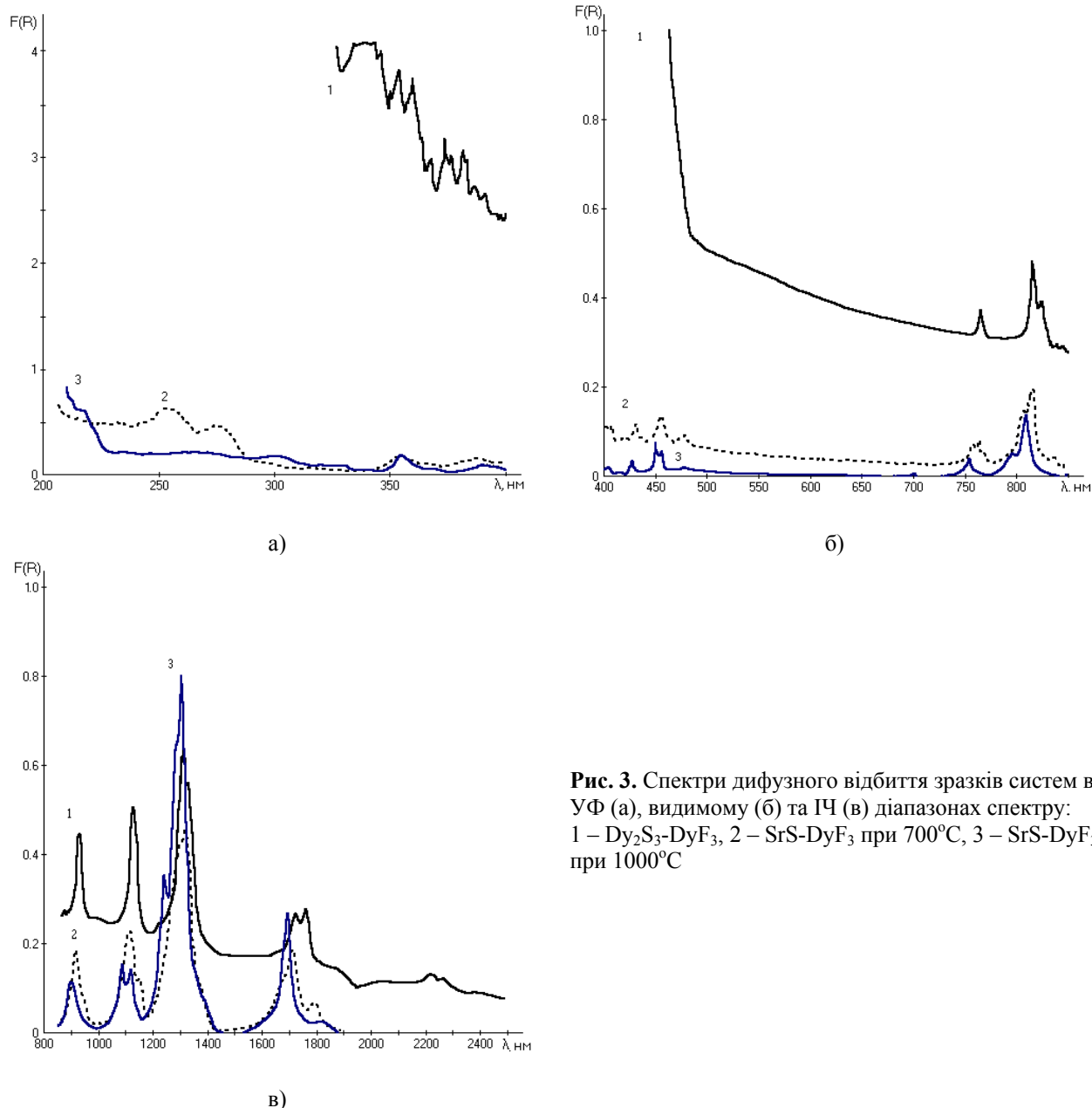
Часткове відновлення (у випадку системи SmF<sub>3</sub> – SrS):



Диспропорціонування:

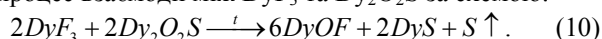


Сполуки, що мають кубічну (або близьку до неї) структуру, та параметри решітки, близькі до SrF<sub>2</sub>, LaOF, SmF<sub>2</sub>, утворюють тверді розчини на базі SrF<sub>2</sub>. Про це свідчить суттєва відмінність параметрів решітки фази „SrF<sub>2</sub>”, яка утворюється в системі SmF<sub>3</sub> – SrS, від параметра решітки (a = 5,8000 Å) чистого SrF<sub>2</sub> (табл. 2). У випадку системи DyF<sub>3</sub> – SrS, через



**Рис. 3.** Спектри дифузного відбиття зразків систем в УФ (а), видимому (б) та ІЧ (в) діапазонах спектру: 1 – Dy<sub>2</sub>S<sub>3</sub>-DyF<sub>3</sub>, 2 – SrS-DyF<sub>3</sub> при 700°C, 3 – SrS-DyF<sub>3</sub> при 1000°C

суттєву відмінність іонних радіусів та значно меншу здатність до стану Dy(II) порівняно із системою SmF<sub>3</sub>, вміст SrF<sub>2</sub> у продуктах є значно менший, а параметри решітки – близькими до табличних. При цьому, можливо, частина сполуки DySF утворює твердий розчин з SrF<sub>2</sub>, призводячи до певного зростання параметрів його решітки. При зростанні температури термообробки, очевидно, завершується процес взаємодії між DyF<sub>3</sub> та Dy<sub>2</sub>O<sub>2</sub>S за схемою:



## Висновки

Встановлено можливість обмінних реакцій між SrS та фторидами лантанідів(La, Sm, Dy) з утвореннями переважно фаз твердих розчинів на базі

SrF<sub>2</sub>. Виявлено суттєві зміни у оптичних властивостях утворених фаз порівняно з сульфоторидами лантанідів.

**Зінченко В.Ф.** – доктор хімічних наук, доцент, завідувач відділу хімії функціональних неорганічних матеріалів;

**Стамікосто О.В.** – інженер відділу хімії функціональних неорганічних матеріалів;

**Стоянова І.В.** – кандидат хімічних наук, старший науковий співробітник відділу аналітичної хімії і фізико-хімії координаційних сполук;

**Белявіна Н.М.** – кандидат фізико-математичних наук, старший науковий співробітник кафедри фізики металів;

**Компаніченко Н.М.** – кандидат хімічних наук, старший науковий співробітник відділу електрохімії і технології неорганічних матеріалів.

- [1] П.Г. Рустамов, О.М. Алиев, А.В. Эйнулаев, И.П. Алиев. *Хальколантанаты редких элементов (химия редких элементов)*, Наука, М. 284 с. (1989).
- [2] Th. Schleid, H. Grossholz. Über Fluoridsulfide (MFS) der Lanthanide (M = La-Nd, Sm, Gd-Lu) im A-Typ mit PbFCl-Struktur // *Z. Anorg. Allgem. Chem.*, **627**, pp. 2693-2699 (2001).
- [3] В.Ф. Зінченко, Н.П. Єфрюшина, В.П. Антонович, О.Г. Єрьомін, О.В. Стамікосто, І.П. Ковалевська. Синтез та оптичні властивості сульфотригідів РЗМ // *Укр. хім. журн.*, **65**(3), сс. 16-18 (2000).
- [4] Н.М. Білявіна, В.Ф. Зінченко, Н.П. Єфрюшина, Н.А. Чивірьова, В.Я. Марків, В.П. Антонович, О.В. Мозкова, О.В. Стамікосто. Умови утворення та кристалічна структура сульфотригідів Ln<sub>3</sub>S<sub>2</sub>F<sub>4</sub> (Ln=Y, Nd, Sm, Gd, Dy, Tm) в продуктах синтезу ПУМ LnSF // *Фіз. і хім. твердого тіла*, **3**(4), сс. 625-632 (2002).
- [5] В.Ф. Зінченко, Н.П. Єфрюшина, Н.М. Білявіна, І.П. Стоянова, О.В. Стамікосто, В.Я. Марків. Утворення складних сульфотригідів структурного типу Yb<sub>3</sub>S<sub>2</sub>F<sub>4</sub> у системах Ва(Eu)F<sub>2</sub>-сульфід РЗМ-тригід РЗМ // *Укр. хім. журнал*, **70**(5), сс. 15-19 (2004).
- [6] В.Ф. Зінченко, О.Г. Єрьомін, Н.П. Єфрюшина, І.В. Стоянова, Н.М. Білявіна, Л.В. Садковська, О.В. Стамікосто. Вплив умов синтезу та термообробки на оптичні властивості сульфотригідів лантанідів // *Укр. хім. журнал*, **70**(3), сс. 30-34 (2004).
- [7] Г.В. Самсонов, С.В. Дроздова. *Сульфиды*. Металлургия, М., 304 с. (1972).
- [8] И.Т. Горонковский, Ю.П. Назаренко, Е.Ф. Некряч. *Краткий справочник по химии*. Наукова думка, К., 830 с. (1987).
- [9] Н.П. Галкин. *Основные свойства неорганических фторидов*. Справочник, Атомиздат, М., 400 с. (1975).

V.F.Zinchenko<sup>1</sup>, O.V. Stamikosto<sup>1</sup>, I.V. Stoyanova<sup>1</sup>, N.M. Belyavina<sup>2</sup>,  
N.M. Kompanichenko<sup>3</sup>

## Interaction in the Systems LnF<sub>3</sub> (Ln-La,Sm,Dy)-SrS

<sup>1</sup>O.V. Bogatsky Physico-Chemical Institute of NAS of Ukraine, 86, Lyustdorfska doroga, Odesa, 65080, tel. 80-487-662398, Fax: 80-487-659602, E-mail: [physchem@paco.net](mailto:physchem@paco.net)

<sup>2</sup>Taras Shevchenko National University, 60, Volodymyrska Str., Kyiv, 01003, tel. 80-442-662335; Fax: 80-442-208285, E-mail: [belmar@mail.univ.kiev.ua](mailto:belmar@mail.univ.kiev.ua)

<sup>3</sup>V.I. Vernadsky Institute of General and Inorganic Chemistry of NAS, 32/34, Ukraine, Palladina Av. 03680, Kyiv, tel: (8044)-424-34-61, Fax: (8044)-424-35-70, E-mail: [omelchuk@ionc.kar.net](mailto:omelchuk@ionc.kar.net)

Composition of the products of interaction in the systems LnF<sub>3</sub> (Ln-La,Sm,Dy)-SrS, the main among those being SrF<sub>2</sub> and solid solutions on its base, is established. It has been revealed the essential gypsochromic shift of the peaks of 4f-4f electron transfer in the studied systems as compared with the systems LnF<sub>3</sub>-Ln<sub>2</sub>S<sub>3</sub>. Possible mechanisms of the interaction between components of the systems are discussed.